

含 K 类函数和附加控制量的自适应 L_2 励磁控制

谷志锋[†], 朱长青, 邵天章, 王文婷

(军械工程学院 车辆与电气工程系, 河北 石家庄 050003)

摘要: 为了简化常规非线性自适应 L_2 增益控制计算和加快控制系统状态变量的稳定收敛速度, 通过引入附加控制变量和 K 类函数, 克服了每次虚拟函数设计时都要考虑 γ -耗散不等式的不足, 保证了 L_2 增益控制能力随误差变量的增加而增强, 给出了一种含附加控制变量和 K 类函数的非线性自适应 L_2 增益控制的通式, 并以具体军用电站谐波励磁系统为对象, 进行了仿真实验. 仿真结果表明, 相对于传统 L_2 增益控制, 该方法可提高状态变量的收敛速度, 并可加强军用电站励磁系统的动态稳定性.

关键词: 励磁系统; 自适应 L_2 增益控制; 军用电站; 改进back-stepping控制; 附加控制变量

中图分类号: TP273 文献标识码: A

Adaptive L_2 excitation control with K -class functions and additional control variable

GU Zhi-feng[†], ZHU Chang-qing, SHAO Tian-zhang, WANG Wen-ting

(Vehicles and Electrical Engineering department, Ordnance Engineering College, Shijiazhuang Hebei 050003, China)

Abstract: In order to simplify the calculation of the nonlinear adaptive L_2 -gain control (L_2 -NAC) and improve the convergence speed of the state variables, by adopting additional control variable and K -class functions, the γ -dissipation inequality will not be considered in virtual function design and the control ability of L_2 -NAC can be improved with the increase of error-variable values, the common formulas of the L_2 -NAC with K -class functions and additional control variables (K - L_2 -NAC) is deduced. K - L_2 -NAC simulation results of the harmonic excitation system for military power station show that the K - L_2 -NAC, comparing with the traditional L_2 -NAC method, can improve the convergence speed of the control variables and enhance the dynamic stability of the excitation system for military power station.

Key words: excitation system; adaptive L_2 -gain control; military power station; improved back-stepping control; additional control variable

1 引言(Introduction)

在雷达探测、导弹发射、牵引高炮、炮兵群(团)指挥系统等场合, 由军用电站、输电电缆、各类型武器装备(雷达、导弹、火炮等)等可构成一类容量有限的独立电力系统. 受武器装备冲击性、瞬时性动作和战场环境下电磁脉冲等干扰影响, 此独立电力系统具有强的非线性、不确定性^[1-3]. 目前, 武器装备性能的不不断提升对独立电力系统的稳定控制能力提出了更高的要求, 而军用电站励磁控制是提高独立电力系统能力的重要手段之一. 为此, 许多学者在军用电站励磁系统的特性分析^[4-5]、模型建立^[6-7]、励磁方式^[8]等方面进行了深入的研究.

由于非线性自适应 L_2 增益控制(nonlinear adap-

tive L_2 -gain control, L_2 -NAC)可以适应控制系统的非线性和参数不确定性, 并在保证干扰至控制输出增益小于设定值的同时, 还可以实现系统的鲁棒稳定, 因此, 军用电站励磁系统的 L_2 -NAC为提高独立电力系统静态、暂态稳定控制能力, 提供了一种直接、有效的方法^[9-11].

文献[12-14]分别采用精确反馈线性化非线性 H_∞ 控制、变结构控制、反演设计、无源化设计与变结构控制相结合的方法, 对 L_2 增益干扰抑制的励磁控制进行了分析, 但在分析时没有考虑参数不确定性; 文献[9]采用精确反馈线性化与最优 H_∞ 控制相结合的方式实现了军用电站的励磁与速度综合控制, 但同样不具备不确定参数自适应的功能; 文献[14-15]介绍

收稿日期: 2014-11-27; 录用日期: 2015-09-09.

[†]通信作者. E-mail: gu_79_11@163.com; Tel.: +86 18032407281.

本文责任编辑: 刘允刚.

国家自然科学基金项目(51407196), 军械工程学院重点院校基金项目(YJJXM12046)资助.

Supported by National Nature Science Foundation of China (51407196) and Key Nature Science Foundation of Ordnance Engineering College (YJJXM12046).

了基于backstepping设计的 L_2 -NAC的实现方法,并详细分析了 L_2 -NAC在励磁控制中的应用,但是在各子系统虚拟函数设计时都要考虑 γ -耗散不等式,文献[16-17]同样存在这样的问题.尽管部分文献给出的 L_2 -NAC方法不需要在各子系统虚拟函数设计时考虑 γ -耗散不等式,但外部干扰需要满足确定的不等式关系^[18-20].

本文通过引入 K 类函数和附加控制变量,提出了一种含 K 类函数和附加控制变量的 L_2 -NAC (non-linear adaptive L_2 control with K -class functions and additional control variable, K - L_2 -NAC)新方法. K - L_2 -NAC提高了状态变量的稳定收敛速度,克服了各子系统虚拟函数设计时都要考虑 γ -耗散不等式的不足,简化了计算,且不需要外部干扰满足特定的不等式,同时给出了详细的通用公式,并运用到了军用电站励磁控制中.军用电站励磁系统的 K - L_2 -NAC仿真结果表明:通过引入 K 类函数和附加控制变量可以提高励磁系统状态变量的稳定收敛速度,有利于提高军用电站的稳定控制能力.

2 含 K 类函数和附加控制变量的非线性自适应 L_2 增益控制原理 (Principle of K - L_2 -NAC)

2.1 非线性系统描述(Description of the nonlinear system)

K - L_2 -NAC适应于以下含干扰输入的非线性不确定系统:

$$\dot{x}_1 = f_1(x_1) + g_1(x_1)x_2 + \varphi_1^T(x_1)\theta + \varepsilon_1, \quad (1.1)$$

$$\dot{x}_2 = f_2(x_1, x_2) + g_2(x_1, x_2)x_3 + \varphi_2^T(x_1, x_2)\theta + \varepsilon_2, \quad (1.2)$$

⋮

$$\dot{x}_i = f_i(x_1, \dots, x_i) + g_i(x_1, \dots, x_i)x_{i+1} + \varphi_i^T(x_1, \dots, x_i)\theta + \varepsilon_i, \quad (1.i)$$

⋮

$$\dot{x}_n = f_n(x_1, \dots, x_n) + g_n(x_1, \dots, x_n)u + \varphi_n^T(x_1, \dots, x_n)\theta + \varepsilon_n, \quad (1.n)$$

$$\mathbf{y} = [q_1x_1 \cdots q_nx_n]^T, \quad (2)$$

其中: $\mathbf{x} \in \mathbb{R}^n$ 及 $u \in \mathbb{R}$ 分别为状态和输入变量; $\theta \in \mathbb{R}^p$, $1 < p \leq n$ 是未知参数向量; $f_i, g_i, i = 1, 2, \dots, n$ 是光滑函数,且满足 $f_i(0) = 0, g_i(x_1, \dots, x_i) \neq 0$; $\varphi_i(x_1, \dots, x_i)$ 是光滑向量场,且满足 $\varphi_i(0) = 0$; ε_i 为随机扰动量,且满足 $\varepsilon \in L_2 = \{\varepsilon(t) | \int_0^t \varepsilon^2(t) dt < \infty\}$ 为有限能量信号集合; \mathbf{y} 为评价信号, $q_j (1 \leq j \leq n)$ 为加权系数.

定义 1 令 $\gamma \geq 0$, 对所有 $T \geq 0$ 和 $\varepsilon \in L_2$, 系统(1)在控制律 $u = f(\mathbf{x}, \hat{\theta})$ 和参数自适应律 $\dot{\hat{\theta}} = g(\mathbf{x}, \hat{\theta})$

作用下满足:

1) 当干扰输入为零时,闭环系统在 $\mathbf{x} = 0$ 是渐近稳定的;

2) $V(x_T) - V(x_0) \leq \int_0^T (\gamma^2 \|\varepsilon\|^2 - \|\mathbf{y}\|^2) dt$, 则称系统(1)具有小于 γ 的 L_2 增益.

其中: $\varepsilon = [\varepsilon_1, \dots, \varepsilon_n]^T$ 表示整个系统的干扰变量, $V(\cdot)$ 为系统(1)的存储函数, $\hat{\theta}$ 为未知参数向量 θ 的估计值, x_0 为系统初始状态.

2.2 非线性自适应 L_2 增益控制实现(Realization of nonlinear adaptive L_2 -gain control)

第1步 取 $e_1 = x_1$, 由式(1.1)得

$$\dot{e}_1 = f_1(x_1) + g_1(x_1)x_2 + \varphi_1^T(x_1)\theta + \varepsilon_1. \quad (3)$$

取虚拟控制 x_2^* :

$$x_2^* = \frac{1}{g_1(x_1)} [-f_1(x_1) - \varphi_1^T(x_1)\hat{\theta} - m_1e_1], \quad (4)$$

其中: 控制系数 $m_1 = \kappa_1(|e_1|) + c_1$, $\kappa_1(|e_1|)$ 为关于 e_1 的 K 类函数, $c_1 > 0$; $\hat{\theta}$ 为 θ 的估计值.

将式(4)代入式(3)得

$$\dot{e}_1 = -m_1e_1 + \varphi_1^T(x_1)\tilde{\theta} + g_1(x_1)e_2 + \varepsilon_1, \quad (5)$$

其中: $\tilde{\theta}$ 为估计误差, 满足 $\tilde{\theta} = \theta - \hat{\theta}$; e_2 为误差变量, 满足 $e_2 = x_2 - x_2^*$.

由式(1.2)(4)得

$$\dot{e}_2 = \dot{x}_2 - \dot{x}_2^* =$$

$$\begin{aligned} & f_2 + g_2x_3 + \varphi_2^T\theta - \frac{\partial x_2^*}{\partial x_1}\dot{x}_1 - \frac{\partial x_2^*}{\partial \hat{\theta}}\dot{\hat{\theta}} + \varepsilon_2 = \\ & f_2 + g_2x_3 + \varphi_2^T\theta - \frac{\partial x_2^*}{\partial x_1}(f_1 + g_1x_2 + \\ & \varphi_1^T\theta + \varepsilon_1) - \frac{\partial x_2^*}{\partial \hat{\theta}}\dot{\hat{\theta}} + \varepsilon_2. \end{aligned} \quad (6)$$

第2步 取Lyapunov函数

$$V_2 = \frac{e_1^2}{2} + \frac{e_2^2}{2}, \quad (7)$$

式(7)沿式(3)(6)求导得

$$\begin{aligned} \dot{V}_2 &= e_1\dot{e}_1 + e_2\dot{e}_2 = \\ & -m_1e_1^2 + e_1\varphi_1^T(x_1)\tilde{\theta} + \\ & e_2[g_1e_1 + f_2 + g_2x_3 + \varphi_2^T\theta - \\ & \frac{\partial x_2^*}{\partial x_1}(f_1 + g_1x_2 + \varphi_1^T\theta) - \frac{\partial x_2^*}{\partial \hat{\theta}}\dot{\hat{\theta}}] + \\ & e_1\varepsilon_1 + e_2\varepsilon_2 - e_2\frac{\partial x_2^*}{\partial x_1}\varepsilon_1. \end{aligned} \quad (8)$$

取虚拟控制 x_3^* :

$$\begin{aligned} x_3^* &= \frac{1}{g_2} [-g_1e_1 - f_2 - \varphi_2^T\hat{\theta} + \frac{\partial x_2^*}{\partial \hat{\theta}}\dot{\hat{\theta}} + \\ & \frac{\partial x_2^*}{\partial x_1}(f_1 + g_1x_2 + \varphi_1^T\hat{\theta}) - m_2e_2], \end{aligned} \quad (9)$$

其中: 控制系数 $m_2 = \kappa_2(|e_2|) + c_2$, $\kappa_2(|e_2|)$ 为关于 e_2 的K类函数; $c_2 > 0$.

将式(9)代入式(8)得

$$\dot{V}_2 = -m_1 e_1^2 - m_2 e_2^2 + e_1 \varphi_1^T \tilde{\theta} + e_2 \varphi_2^T \tilde{\theta} + g_2 e_2 e_3 - e_2 \frac{\partial x_2^*}{\partial x_1} \varphi_1^T \tilde{\theta} + e_1 \varepsilon_1 + e_2 \varepsilon_2 - e_2 \frac{\partial x_2^*}{\partial x_1} \varepsilon_1, \quad (10)$$

其中 e_3 为误差变量, 满足 $e_3 = x_3 - x_3^*$.

将式(9)代入式(6)得

$$\dot{e}_2 = -m_2 e_2 + \varphi_2^T \tilde{\theta} + g_2 e_3 - g_1 e_1 - \frac{\partial x_2^*}{\partial x_1} \varphi_1^T \tilde{\theta} + \varepsilon_2 - \frac{\partial x_2^*}{\partial x_1} \varepsilon_1. \quad (11)$$

第*i*步 采用上述相同的计算方法得

$$V_i = \sum_{j=1}^i \frac{e_j^2}{2}, \quad (12)$$

$$\begin{aligned} \dot{V}_i = & -\sum_{j=1}^i m_j e_j^2 + \sum_{j=1}^i e_j \varphi_j^T \tilde{\theta} + \sum_{j=1}^i e_j \varepsilon_j + \\ & g_i e_i e_{i+1} - \sum_{k=2}^i \sum_{j=1}^{k-1} e_k \frac{\partial x_k^*}{\partial x_j} \varphi_j^T \tilde{\theta} + \\ & \sum_{k=2}^i \sum_{j=1}^{k-1} e_k \frac{\partial x_k^*}{\partial x_j} \varepsilon_j, \end{aligned} \quad (13)$$

$$\dot{e}_j = -m_i e_i + \varphi_i^T \tilde{\theta} + g_i e_{i+1} - g_{i-1} e_{i-1} - \sum_{j=1}^{i-1} \frac{\partial x_i^*}{\partial x_j} \varphi_j^T \tilde{\theta} + \varepsilon_i - \sum_{j=1}^{i-1} \frac{\partial x_i^*}{\partial x_j} \varepsilon_j, \quad (14)$$

其中: $m_i = \kappa_i(|e_i|) + c_i$, $\kappa_i(|e_i|)$ 为关于 e_i 的K类函数, $c_i > 0$.

第*n*步 取全系统的Lyapunov函数并求导得

$$V_n = V_{n-1} + \frac{1}{2} \xi^2(e_n) + \frac{1}{2} \Gamma^{-1} \tilde{\theta}^2 \geq 0, \quad (15)$$

$$\dot{V}_n = \dot{V}_{n-1} + \xi(e_n) \frac{d\xi(e_n)}{de_n} \dot{e}_n + \tilde{\theta}^T \Gamma^{-1} \dot{\tilde{\theta}}, \quad (16)$$

其中 $\xi(e_n)$ 为满足 $\xi(e_n) \frac{d\xi(e_n)}{de_n} |_{e_n=0} \neq 0$ 的任意函数.

按照通式(13)–(14)得

$$\begin{aligned} \dot{V}_n = & -\sum_{j=1}^{n-1} m_j e_j^2 + \sum_{j=1}^{n-1} e_j \varepsilon_j + \sum_{j=1}^{n-1} e_j \varphi_j^T \tilde{\theta} - \tilde{\theta}^T \Gamma \dot{\tilde{\theta}} - \\ & \sum_{k=2}^{n-1} \sum_{j=1}^{k-1} e_k \frac{\partial x_k^*}{\partial x_j} \varphi_j^T \tilde{\theta} - \sum_{k=2}^{n-1} \sum_{j=1}^{k-1} e_k \frac{\partial x_k^*}{\partial x_j} \varepsilon_j + \\ & b_1 g_{n-1} e_{n-1} e_n b_1^{-1} + f_n + g_n u + \varphi_n^T \theta + \\ & \varepsilon_n - \sum_{j=1}^{n-1} \frac{\partial x_n^*}{\partial x_j} (f_j + g_j x_{j+1} + \varphi_j^T \theta + \varepsilon_j) - \\ & \frac{\partial x_n^*}{\partial \theta} \dot{\tilde{\theta}}. \end{aligned} \quad (17)$$

取反馈控制律和参数替换律分别为

$$u = \frac{1}{g_n} [-g_{n-1} e_n e_{n-1} b_1^{-1} - f_n - \varphi_n^T \tilde{\theta} +$$

$$\frac{\partial x_n^*}{\partial \theta} \dot{\tilde{\theta}} + \sum_{j=1}^{n-1} \frac{\partial x_n^*}{\partial x_j} (f_j + g_j x_{j+1} + \varphi_j^T \tilde{\theta}) + m_n b_1 - u_{f1}], \quad (18)$$

$$\begin{aligned} \dot{\tilde{\theta}} = & [(\sum_{j=1}^{n-1} e_j \varphi_j^T - b_1 \sum_{j=1}^{n-1} \frac{\partial x_n^*}{\partial x_j} \varphi_j^T - \\ & \sum_{k=2}^{n-1} \sum_{j=1}^{k-1} e_k \frac{\partial x_k^*}{\partial x_j} \varphi_j^T + b_1 \varphi_n^T) \Gamma]^T, \end{aligned} \quad (19)$$

其中: $b_1 = \xi(e_n) \frac{d\xi(e_n)}{de_n}$; 控制系数 $m_n = \kappa_n(|e_n|) + c_n$, $\kappa_n(|e_n|)$ 为关于 e_n 的K类函数, $c_n > 0$; u_{f1} 为附加控制变量.

取误差变量 $e_n = x_n - x_n^*$

$$\dot{e}_n = \dot{x}_n - \dot{x}_n^* =$$

$$\begin{aligned} & f_n + g_n u + \varphi_n^T \theta + \varepsilon_n - \frac{\partial x_n^*}{\partial \theta} \dot{\tilde{\theta}} - \\ & \sum_{j=1}^{n-1} \frac{\partial x_n^*}{\partial x_j} (f_j + g_j x_{j+1} + \varphi_j^T \theta + \varepsilon_j). \end{aligned} \quad (20)$$

将式(18)代入式(20)得

$$\begin{aligned} \dot{e}_n = & -g_{n-1} e_{n-1} b_1^{-1} - m_n b_1 - u_{f1} + \varphi_n^T \tilde{\theta} - \\ & \sum_{j=1}^{n-1} \frac{\partial x_n^*}{\partial x_j} \tilde{\theta} + \varepsilon_n - \sum_{j=1}^{n-1} \frac{\partial x_n^*}{\partial x_j} \varepsilon_j. \end{aligned} \quad (21)$$

将式(18)–(19)代入式(17)得

$$\begin{aligned} \dot{V}_n = & -\sum_{j=1}^{n-1} m_j e_j^2 - m_n b_1^2 + \sum_{j=1}^{n-1} e_j \varepsilon_j + b_1 \varepsilon_n - \\ & \sum_{k=2}^{n-1} \sum_{j=1}^{k-1} e_k \frac{\partial x_k^*}{\partial x_j} \varepsilon_j - b_1 \sum_{j=1}^{n-1} \frac{\partial x_n^*}{\partial x_j} \varepsilon_j - u_{f1} b_1, \end{aligned} \quad (22)$$

第*n*+1步 定义函数

$$H = \dot{V}_n + \frac{1}{2} (\|\mathbf{y}\|^2 - \gamma^2 \|\boldsymbol{\varepsilon}\|^2), \quad (23)$$

将式(2)(22)代入式(23)得

$$\begin{aligned} H = & -\sum_{j=1}^{n-1} m_j e_j^2 - m_n b_1^2 + b_1 \varepsilon_n + \\ & \sum_{j=1}^{n-1} (e_j \varepsilon_j - b_1 \frac{\partial x_n^*}{\partial x_j} \varepsilon_j) - \sum_{k=2}^{n-1} \sum_{j=1}^{k-1} e_k \frac{\partial x_k^*}{\partial x_j} \varepsilon_j + \\ & \frac{1}{2} \sum_{j=1}^n (q_j^2 x_j^2 - \gamma^2 \varepsilon_j^2) - b_1 u_{f1}. \end{aligned} \quad (24)$$

由式(24)得

$$\begin{aligned} H = & -\sum_{j=1}^{n-1} m_j e_j^2 - m_n b_1^2 - \sum_{j=1}^{n-1} (-e_j \varepsilon_j + \frac{\gamma^2}{2} \varepsilon_j^2) + \\ & (b_1 \varepsilon_n - \frac{\gamma^2}{2} \varepsilon_n^2) - \sum_{j=1}^{n-1} \sum_{k=j+1}^{n-1} e_k \frac{\partial x_k^*}{\partial x_j} \varepsilon_j - \\ & b_1 \sum_{j=1}^{n-1} \frac{\partial x_n^*}{\partial x_j} \varepsilon_j + \frac{1}{2} \sum_{j=1}^n (q_j x_j)^2 - b_1 u_{f1}. \end{aligned} \quad (25)$$

由式(25)得

$$H = - \sum_{j=1}^{n-1} m_j e_j^2 - \sum_{j=1}^{n-1} \left(\frac{\gamma \varepsilon_2}{\sqrt{2}} - \frac{b_2}{\sqrt{2}\gamma} \right)^2 + \frac{1}{2} \sum_{j=1}^n (q_j x_j)^2 - m_n b_1^2 - \left(\frac{\gamma \varepsilon_n}{\sqrt{2}} - \frac{b_1}{\sqrt{2}\gamma} \right)^2 + \sum_{j=1}^{n-1} \frac{b_2^2}{2\gamma^2} + \frac{b_1^2}{2\gamma^2} - b_1 u_{f1}, \quad (26)$$

其中 $b_2 = e_j + \sum_{k=j+1}^{n-1} e_k \left(\frac{\partial x_k^*}{\partial x_j} \right) + b_1 \left(\frac{\partial x_n^*}{\partial x_j} \right)$.

取附加控制变量 u_{f1} 为

$$u_{f1} = b_1^{-1} \left[\sum_{j=1}^{n-1} \frac{b_2^2}{2\gamma^2} + \frac{b_1^2}{2\gamma^2} + \frac{1}{2} \sum_{j=1}^n (q_j x_j)^2 \right]. \quad (27)$$

将式(27)代入式(26)得

$$H = - \sum_{j=1}^{n-1} m_j e_j^2 - m_n b_1^2 - \sum_{j=1}^{n-1} \left(\frac{\gamma \varepsilon_j}{\sqrt{2}} - \frac{b_2}{\sqrt{2}\gamma} \right)^2 - \left(\frac{\gamma \varepsilon_n}{\sqrt{2}} - \frac{b_1}{\sqrt{2}\gamma} \right)^2 \leq 0. \quad (28)$$

由式(23)(28)得

$$2\dot{V}_n + \|\mathbf{y}\|^2 \leq \gamma^2 \|\varepsilon\|^2. \quad (29)$$

取系统(1)的存储函数为 $V(\mathbf{x}) = 2V_n \geq 0$, 由式(15)(29)得

$$V(T) - V(0) \leq \int_0^T (\gamma^2 \|\varepsilon\|^2 - \|\mathbf{y}\|^2) dt. \quad (30)$$

当不考虑系统干扰时, 由式(22)和式(27)得

$$\dot{V}_n = - \sum_{j=1}^{n-1} m_j e_j^2 - m_n b_1^2 - \frac{b_1^2}{2\gamma^2} - \sum_{j=1}^{n-1} \frac{b_2^2}{2\gamma^2} - \frac{1}{2} \sum_{j=1}^n (q_j x_j)^2 < 0. \quad (31)$$

因此, $\mathbf{x} = 0$ 是系统的渐近稳定平衡点.

由式(30)和式(31)可知: 系统(1)的 L_1 增益系数小于 γ .

以上 L_2 增益干扰抑制方法即是本文提出的含 K 类函数和附加控制变量的非线性自适应 L_2 增益控制 (nonlinear adaptive L_2 -gain control with K -class functions, K - L_2 -NAC).

评价1 当 K - L_2 -NAC 中的 $\kappa_i(|e_i|)$ 等于零时, 控制系数 $m_i = c_i$ 为大于零的常数, 此时的 K - L_2 -NAC 退化为常规非线性 L_2 增益干扰抑制控制 (nonlinear adaptive L_2 -gain control, L_2 -NAC).

评价2 在常规基于 Lyapunov 稳定理论的 L_2 -NAC 方法中, m_j 为常数, 不随误差变量 e_j 的增加而变化, 而在 K - L_2 -NAC 中, $\kappa_i(|e_i|)$ 是关于 e_i 的 K 类函数, 当 e_j 增加时, $\kappa_j(|e_j|)$ 和 m_j 值增加, 因此, K - L_2 -NAC 具有更快的干扰抑制速度.

评价3 在常规基于 Lyapunov 稳定理论的 L_2 -NAC 方法中, 每个子系统虚拟函数选取时都需要考虑不等式 $2\dot{V}_i \leq (\gamma^2 \|\varepsilon_i\|^2 + \|\mathbf{y}\|)$, 而在 K - L_2 -NAC 中,

通过引入附加控制变量 u_{f1} , 简化了 L_2 增益控制计算, 并给出了规律性计算公式(18)(27)和式(19), 简化了 L_2 增益干扰抑制计算.

评价4 由式(22)知, 当不考虑系统干扰输入时, 采用控制律式(18)(27)和参数自适应律式(19)可以保证

$$\dot{V}_n = - \sum_{j=1}^{n-1} m_j e_j^2 - m_n b_1^2 - \sum_{j=1}^{n-1} \frac{b_2^2}{2\gamma^2} - \frac{b_1^2}{2\gamma^2} - \frac{1}{2} \sum_{j=1}^n (q_j x_j)^2 \leq 0,$$

因此, 式(18)(27)表示的控制律和式(19)表示的参数自适应律可以保证系统渐进稳定, 并使 $x_i \rightarrow 0$, ($i = 1, \dots, n$).

3 谐波励磁系统的 K - L_2 -NAC (K - L_2 -NAC of harmonic excitation system)

带有不确定参数的谐波励磁系统数学模型可表示为^[6]

$$\frac{d\delta}{dt} = \omega - \omega_0, \quad (32.1)$$

$$\frac{d\delta}{dt} = \frac{\omega_0}{M} P_m + \frac{\omega_0}{M} \frac{E'_q u_s}{x'_d} \sin \delta - \frac{D}{M} (\omega - \omega_0) + \varepsilon_1, \quad (32.2)$$

$$\frac{dE'_q}{dt} = -\frac{1}{T'_d} E'_q + \frac{1}{T_{d0}} \frac{x_d - x'_d}{x'_d} u_s \cos \delta + \frac{K_A}{T_{d0}} A_{30} + \frac{K_u}{T_{d0}} u + \frac{K_A}{T_{d0}} A'_3 + \varepsilon'_2, \quad (32.3)$$

其中: ε_1 综合考虑了力矩干扰输入(谐波励磁功率可以看作干扰的一部分)和模型不确定性; ε'_2 综合考虑了励磁绕组电磁干扰输入和模型不确定性; 阻尼系数 D 通常难以确定, 可看作不确定系数;

$$A_3 = M_h E_3 =$$

$$M_h \sqrt{(K E_0 + K' I_\phi \sin \psi)^2 + (K'' I_\phi \cos \psi)^2},$$

M_h 为整流系数, $\psi = \delta + \varphi$ 为内功率因数角, δ 为发电机功角, φ 为负载功率因数角.

当定义 $\mathbf{x} = [x_1, x_2, x_3]^T = [\delta - \delta_0, \omega - \omega_0, E'_q - E'_{q0}]^T$ 时, 由模型式(32)得

$$\dot{x}_1 = x_2, \quad (33.1)$$

$$\dot{x}_2 = -\frac{D}{M} x_2 - \beta_1 u_s \sin(\delta_0 + x_1) x_3 - \beta_1 u_s x_{30} [\sin(\delta_0 + x_1) - \sin \delta_0] + \varepsilon_1, \quad (33.2)$$

$$\dot{x}_3 = -\beta_2 x_3 + \beta_3 u_s [\cos(\delta_0 + x_1) - \cos \delta_0] - \frac{1}{T_{d0}} E_{f0} + \frac{K_A}{T_{d0}} A_{30} + \frac{K_u}{T_{d0}} u + \varepsilon_2, \quad (33.3)$$

其中 $(\delta_0, \omega_0, E'_{q0})$ 为起始稳定工作点;

$$\beta_1 = \omega_0 / x'_d M; \quad \beta_2 = 1 / T'_d;$$

$$\beta_3 = (1/T'_{d0})((x_d - x'_d)/x'_d);$$

在稳定工作点, 满足

$$P_m \approx P_{e0} = (E'_{q0} u_s / x'_d) \sin \delta_0;$$

$$\varepsilon_2 = (K_A / T_{d0}) A'_3 + \varepsilon'_2.$$

在谐波励磁系统稳定工作状态下, 假定 A_3 的值为 A_{30} , 则当谐波励磁系统受到外部扰动后, A_3 的值则可表示为 $A_{30} + A'_3$, 其中 A'_3 为受扰变化量.

当引入预反馈 u 时, 由式(33)可得

$$\dot{x}_1 = x_2, \quad (34.1)$$

$$\dot{x}_2 = -\theta x_2 - \beta_1 u_s \sin(\delta_0 + x_1) x_3 - \beta_1 u_s x_{30} [\sin(\delta_0 + x_1) - \sin \delta_0] + \varepsilon_1, \quad (34.2)$$

$$\dot{x}_3 = v + \varepsilon_2, \quad (34.3)$$

$$\mathbf{y} = [q_1 x_1 \quad q_2 x_2]^T, \quad (34.4)$$

其中: $\theta = \frac{D}{M}$ 为不确定系数; $u = K_u^{-1} \{T_{d0} v + T_{d0} \beta_2 x_3 + E_{f0} - K_A A_{30} - T_{d0} \beta_3 u_s [\cos(\delta_0 + x_1) - \cos \delta_0]\}$.

取 $e_1 = x_1$, $x_2^* = -m_1 e_1$, $e_2 = x_2 - x_2^*$, $V_2 = \frac{e_1^2}{2} + \frac{e_2^2}{2}$, 采用第2节计算方法, 得

$$\dot{e}_1 = -m_1 e_1 + e_2, \quad (35)$$

$$\dot{V}_2 = -m_1 e_1^2 + e_2 \varepsilon_1 + e_2 \{e_1 - x_2 \theta - \beta_1 u_s \sin(\delta_0 + x_1) x_3 - \beta_1 u_s x_{30} [\sin(\delta_0 + x_1) - \sin \delta_0] + m_1 x_2\}, \quad (36)$$

$$\dot{e}_2 = -x_2 \theta - \beta_1 u_s \sin(\delta_0 + x_1) x_3 + \varepsilon_1 + m_1 x_2 - \beta_1 u_s x_{30} [\sin(\delta_0 + x_1) - \sin \delta_0], \quad (37)$$

其中: $m_1 = \kappa_1(|e_1|) + c_1$, $\kappa_1(|e_1|)$ 为关于 e_1 的K类函数, $c_1 > 0$.

取虚拟控制 x_3^* 为

$$x_3^* = (e_1 - x_2 \hat{\theta} + m_1 x_2 + m_2 e_2 - \beta_1 u_s x_{30} [\sin(\delta_0 + x_1) - \sin \delta_0]) / (\beta_1 u_s \sin(\delta_0 + x_1)), \quad (38)$$

其中: $\hat{\theta}$ 为 θ 的估计值; $m_2 = \kappa_2(|e_2|) + c_2$, $\kappa_2(|e_2|)$ 为关于 e_2 的K类函数, $c_2 > 0$.

将式(38)代入式(36)–(37)得

$$\dot{V}_2 = -m_1 e_1^2 - m_2 e_2^2 - x_2 \tilde{\theta} e_2 - \beta_1 u_s \sin(\delta_0 + x_1) e_2 e_3 + e_2 \varepsilon_1, \quad (39)$$

$$\dot{e}_2 = -m_2 e_2 - e_1 - x_2 \tilde{\theta} - \beta_1 u_s \sin(\delta_0 + x_1) e_3 + \varepsilon_1, \quad (40)$$

其中: $e_3 = x_3 - x_3^*$, $\tilde{\theta} = \theta - \hat{\theta}$.

由式(38)得

$$\dot{x}_3^* =$$

$$(x_2 - x_2 \hat{\theta} - \beta_1 u_s x_{30} \cos(\delta_0 + x_1) x_2 + m_1 m_2 x_2 + (-\hat{\theta} + m_1 + m_2) \{-\theta x_2 - \beta_1 u_s \sin(\delta_0 + x_1) x_3 + \varepsilon_1 - \beta_1 u_s x_{30} [\sin(\delta_0 + x_1) - \sin \delta_0]\}) / (\beta_1 u_s \sin(\delta_0 + x_1)) - \cos(\delta_0 + x_1) x_2 (e_1 - x_2 \hat{\theta} + m_1 x_2 + m_2 e_2 - \beta_1 x_{30} [\sin(\delta_0 + x_1) - \sin \delta_0]) / (\beta_1 u_s \sin^2(\delta_0 + x_1)). \quad (41)$$

取 $V_3 = V_2 + (\xi^2(e_3)/2) + (1/2\rho)\tilde{\theta}^2$, 则有

$$\dot{V}_3 = -\sum_{i=1}^2 m_i e_i^2 - x_2 \tilde{\theta} e_2 - \beta_1 \sin(\delta_0 + x_1) e_2 e_3 + e_2 \varepsilon_1 + b_1 (v + \varepsilon_2 - \dot{x}_3^*) + \frac{1}{\rho} \tilde{\theta} \dot{\tilde{\theta}}, \quad (42)$$

其中 $b_1 = \xi(e_3) \frac{d\xi(e_3)}{de_3}$.

将式(41)代入式(42), 并分别取以下控制律(43)和参数自适应律(44)为

$$v = \beta_1 u_s \sin(\delta_0 + x_1) e_2 e_3 b_1^{-1} - m_3 b_1 - u_{f1} + (x_2 - \beta_1 u_s x_{30} \cos(\delta_0 + x_1) x_2 + m_1 m_2 x_2 - \hat{\theta} x_2 + (-\hat{\theta} + m_1 + m_2) \{-\hat{\theta} x_2 - \beta_1 u_s \sin(\delta_0 + x_1) x_3 - \beta_1 u_s x_{30} [\sin(\delta_0 + x_1) - \sin \delta_0]\}) / (\beta_1 u_s \sin(\delta_0 + x_1)) - x_2 \cos(\delta_0 + x_1) (-\hat{\theta} x_2 + e_1 + m_1 x_2 + m_2 e_2 - \beta_1 u_s x_{30} [\sin(\delta_0 + x_1) - \sin \delta_0]) / (\beta_1 u_s \sin^2(\delta_0 + x_1)), \quad (43)$$

$$\dot{\hat{\theta}} = \rho [-e_2 x_2 + \frac{(-\hat{\theta} + m_1 + m_2) b_1 x_2}{\beta_1 u_s \sin(\delta_0 + x_1)}], \quad (44)$$

其中: $m_3 = \kappa_3(|e_3|) + c_3$, $\kappa_3(|e_3|)$ 为关于 e_3 的K类函数, $c_3 > 0$; u_{f1} 为附加控制变量.

将式(43)–(44)代入式(42)得

$$\dot{V}_3 = -\sum_{i=1}^2 m_i e_i^2 - m_3 b_1^2 + e_2 \varepsilon_1 - \frac{(-\hat{\theta} + m_1 + m_2) \varepsilon_1}{\beta_1 u_s \sin(\delta_0 + x_1)} + b_1 \varepsilon_2 - b_1 u_{f1}. \quad (45)$$

取 $H = \dot{V}_3 + (\|\mathbf{y}\|^2 - \gamma^2 \|\boldsymbol{\varepsilon}\|^2)/2$, 由式(45)得

$$H = -\sum_{i=1}^2 m_i e_i^2 - m_3 b_1^2 - (\frac{\gamma \varepsilon_1}{\sqrt{2}} - \frac{b_2}{\sqrt{2} \gamma})^2 + \frac{b_2^2}{2 \gamma^2} - (\frac{\gamma \varepsilon_2}{\sqrt{2}} - \frac{b_1}{\sqrt{2} \gamma})^2 + \frac{b_1^2}{2 \gamma^2} + \frac{q_1^2 x_1^2 + q_2^2 x_2^2}{2} - b_1 u_{f1}, \quad (46)$$

其中 $b_2 = e_2 - (-\hat{\theta} + m_1 + m_2) / (\beta_1 u_s \sin(\delta_0 + x_1))$.

取附加控制变量 u_{f1} 为

$$u_{f1} = b_1^{-1} \left(\frac{b_1^2 + b_2^2}{2\gamma^2} + \frac{4x_1^2 + 9x_2^2}{2} \right). \quad (47)$$

将式(47)代入式(46)得

$$\begin{aligned} H = \hat{V}_3 + \frac{1}{2} (\|\mathbf{y}\|^2 - \gamma^2 \|\varepsilon\|^2) = \\ - \sum_{i=1}^2 m_i e_i^2 - m_3 b_1^2 - \left(\frac{\gamma \varepsilon_1}{\sqrt{2}} - \frac{b_2}{\sqrt{2}\gamma} \right)^2 - \\ \left(\frac{\gamma \varepsilon_2}{\sqrt{2}} - \frac{b_1}{\sqrt{2}\gamma} \right)^2 \leq 0. \end{aligned} \quad (48)$$

取谐波励磁系统的能量存储函数为

$$V(\mathbf{x}) = 2V_3 = \sum_{i=1}^2 e_i^2 + f^2(e_3) + \frac{1}{\rho} \tilde{\theta}^2 \geq 0. \quad (49)$$

由式(49)可知, 式(48)求积分可得

$$\int_0^T \|\mathbf{y}\|^2 dt \leq \gamma^2 \int_0^T \|\varepsilon\|^2 dt + V(\mathbf{x}_0). \quad (50)$$

由上述计算可知, $K-L_2-NAC$ 的控制律为式(43)(47), 参数自适应律为式(44).

4 仿真结果与分析 (Simulation results and analysis)

分别对常规PID、常规 L_2-NAC 和 $K-L_2-NAC$ 的控制效果进行对比. 谐波励磁系统稳定工作点为

$$E'_{q0} = 1.029 \text{ p.u.}, 3.5\delta_0 = 0.904 \text{ rad}, \omega_0 = 1.0 \text{ p.u.}, A_{30} = 2.01 \text{ p.u.}, E_{f0} = -0.7833 \text{ p.u.}$$

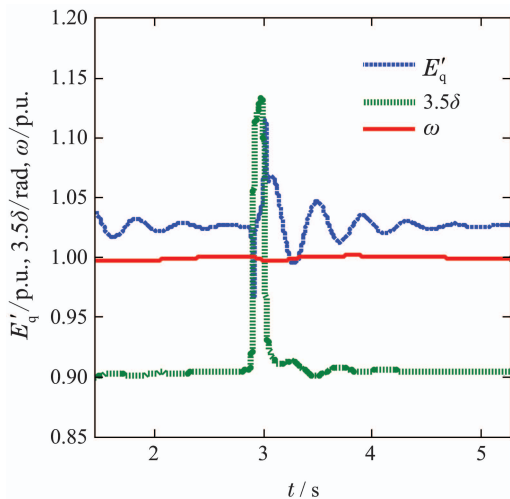
仿真过程中, 谐波励磁系统在2.8 s时突增25%的额定负载, 然后在2.9 s时突减25%负载.

当采用PID控制时, 仿真结果分别如图1所示.

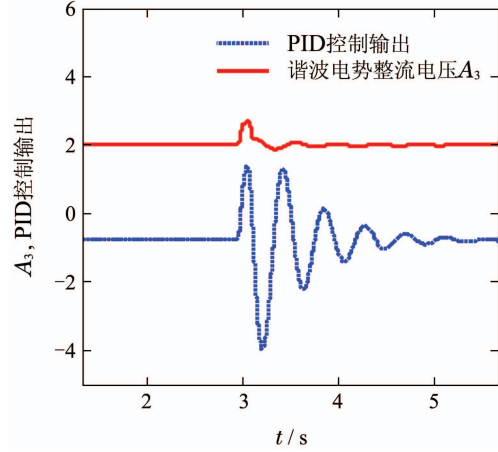
采用常规 L_2-NAEC 时, 仿真参数为

$$\begin{aligned} \kappa_1(|e_1|) = \kappa_2(|e_2|) = 0; \kappa_3(|e_3|) = 0; \\ c_1 = 5; c_2 = 2; c_3 = 9; M_h = 1.4; q_1 = 0.4; \\ q_2 = 0.6; \gamma = 0.5; \rho = 1; \end{aligned}$$

ε_1 和 ε_2 均为白噪声(噪声功率分别为0.2和0.3). 状态变量和与反馈控制变量的动态变化曲线如图2所示.

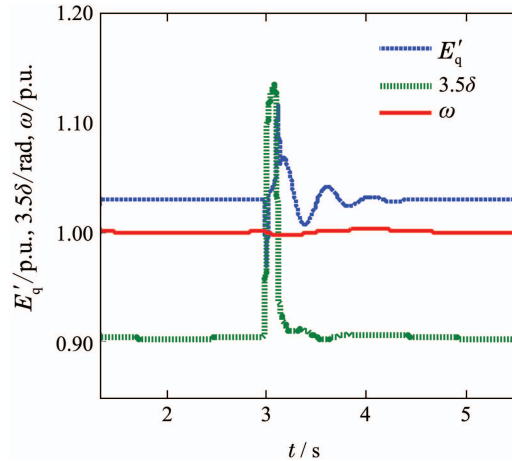


(a) 状态变量变化曲线

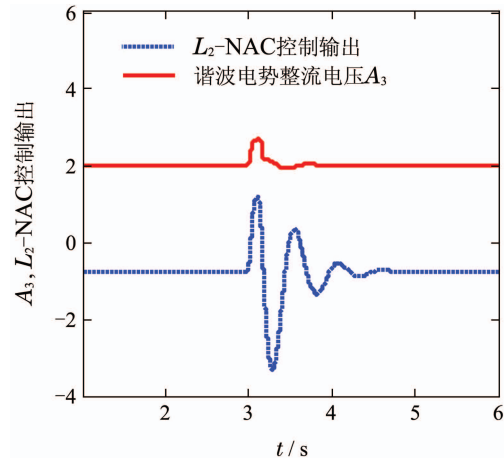


(b) 励磁控制输入变化曲线

图1 采用PID控制时的状态及控制变化曲线
Fig. 1 Curves of state parameters and control input by PID control



(a) 暂态电势、功角、转速变化曲线



(b) A_3 变化增量、预反馈控制 ω 变化曲线

图2 采用 L_2-NAC 控制时的状态及控制变化曲线
Fig. 2 Curves of state parameters and control input by L_2-NAC control

采用 $K-L_2-NAC$ 时, 仿真参数为

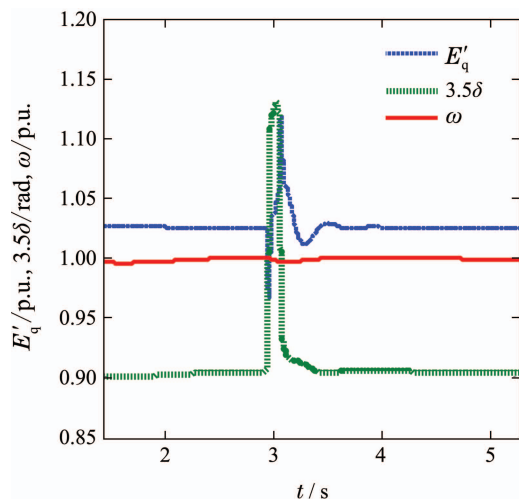
$$\kappa_1(|e_1|) = e_1^2; \kappa_2(|e_2|) = 2e_2^2;$$

$$\kappa_3(|e_3|) = |e_3|; f(e_3) = 2|e_3| + \cos e_3;$$

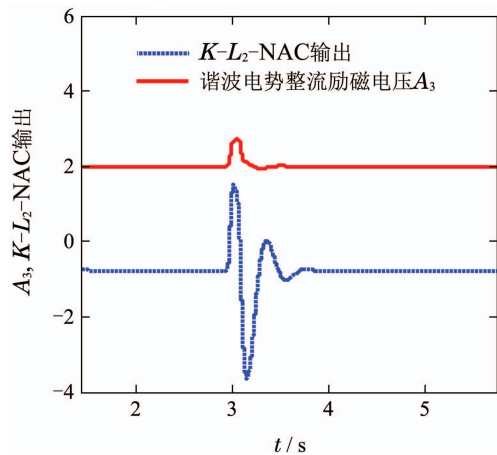
$$c_1 = 5; c_2 = 2; c_3 = 9; M_h = 1.4;$$

$$q_1 = 0.4; q_2 = 0.6; \gamma = 0.5; \rho = 1;$$

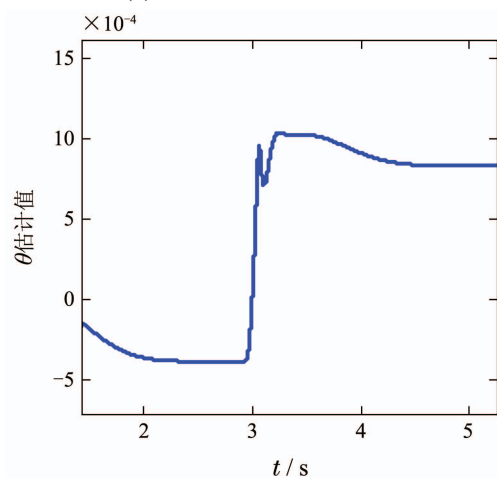
ε_1 和 ε_2 均为白噪声(噪声功率分别为0.2和0.3). 状态变量和与反馈控制变量的动态变化曲线如图3所示.



(a) 状态变量变化曲线



(b) 励磁控制输入变化曲线



(c) 不确定参数估计值变化曲线

图3 采用 $K-L_2$ -NAC时的状态及控制变化曲线

Fig. 3 Curves of state parameters and control input by $K-L_2$ -NAC

比较图1、图2可知: 相对于传统PID控制, 采用常规 L_2 -NAC时, E'_q 和 δ 的波动次数由5次减小为3次, 稳定时间由接近2.0s减小为1.2s. 由于常规 L_2 -NAC能够有效适应军用电站励磁系统的非线性和单数不确定性, 所以控制效果较好.

比较图2、图3可知: 相对于常规 L_2 -NAC时, 采用 $K-L_2$ -NAC时, E'_q 和 δ 的波动次数由3次减小为1次, 稳定时间由接近1.2s减小为0.7s, 说明通过引入K类函数, $K-L_2$ -NAC可以明显提高励磁系统状态变量的收敛速度, 有利于增强军用电站的稳定供电能力.

5 总结(Conclusions)

本文针对一类含干扰输入的严参数反馈非线性不确定系统, 提出了一种 $K-L_2$ -NAC的 L_2 增益干扰抑制的新方法, 并给出了计算通式. $K-L_2$ -NAC通过在back-stepping鲁棒自适应控制中引入附加控制变量, 使得 L_2 增益干扰抑制控制只需在反演设计最后一步统一考虑 γ -耗散不等式即可实现, 克服了常规 L_2 -NAC中各子系统虚拟函数设计时都要考虑 γ -耗散不等式的不足, 简化了计算, 并通过引入K类函数, 使得非线性系统的状态变量能够快速恢复稳定, 提高了非线性不确定系统的稳定控制能力. 在军用电站谐波励磁系统的 $K-L_2$ -NAC仿真结果证明了该方法的有效性和优点, 为提高军用电站励磁系统的稳定控制能力提供了一种新的方法.

参考文献(References):

- [1] DE LEON-MORALES J, BUSAWONA K, ACOSTA-VILLARR-EAL G, et al. Nonlinear control for small synchronous generator [J]. *Electrical Power and Energy Systems*, 2001, 23(1): 1-11.
- [2] GU Zhifeng, ZHU Changqing, SHAO Tianzhang, et al. Robust adaptive control for the excitation system based on total-state-parameter optimum control [J]. *Control Theory & Applications*, 2013, 30(7): 856-862.
(谷志锋, 朱长青, 邵天章, 等. 全状态参数最优控制的鲁棒自适应励磁控制 [J]. *控制理论与应用*, 2013, 30(7): 856-862.)
- [3] WANG Yihong, ZHANG Xuemin, SUN Yujiao, et al. Transient voltage stability of independent electric power systems with induction motors [J]. *Journal of Tsinghua University (Science and Technology)*, 2011, 51(1): 36-42.
(王义红, 张雪敏, 孙玉娇, 等. 含感应电动机的独立电力系统暂态电压分析 [J]. *清华大学学报*, 2011, 51(1): 36-42.)
- [4] HUANG Manlei. Chaos control of diesel-generator set operating in parallel [J]. *Journal of Naval University of Engineering*, 2013, 25(2): 5-13.
(黄曼磊. 柴油发电机组并联运行的混沌控制 [J]. *海军工程大学学报*, 2013, 25(2): 5-13.)
- [5] HUANG Manlei. *Theory and Application of the Robust Control* [M]. Harbin: Harbin Institute of Technology Press, 2007: 125-138.
(黄曼磊. *鲁棒控制理论及应用* [M]. 哈尔滨: 哈尔滨工业大学出版社, 2007: 125-138.)
- [6] GU Zhifeng, ZHU Changqing, ZHAO Wenjie, et al. Research on characteristics of harmonic excited and electromechanical governed mobile power station [J]. *Chinese Internal Combustion Engine Engineering*, 2013, 34(5): 87-92.

- (谷志锋, 朱长青, 赵文杰, 等. 谐波励磁机电复合调速型移动电站特性研究 [J]. 内燃机工程, 2013, 34(5): 87 – 92.)
- [7] HUANG Manlei, LI Dianpu. Mathematical model of synchronous generator voltage regulation system on ship power station [J]. *Journal of Harbin Engineering University*, 2004, 25(3): 305 – 309. (黄曼磊, 李殿璞. 船舶电站同步发电机调压系统的数学模型 [J]. 哈尔滨工程大学学报, 2004, 25(3): 305 – 309.)
- [8] GU Zhifeng, ZHU Changqing, SHAO Tianzhang, WANG Chuanchuan, et al. Study on the AC tracking excitation based on the sensorless air-gap field oriented technology [J]. *Electric Power Automation Equipment*, 2011, 10(31): 52 – 56. (谷志锋, 朱长青, 邵天章, 等. 基于气隙磁场定向的无传感器交流跟踪励磁控制研究 [J]. 电力自动化设备, 2011, 10(31): 52 – 56.)
- [9] GU Zhifeng, ZHU Changqing, ZHANG Chengguang, et al. Nonlinear robust excitation and speed control based on the double strong tracking filter [J]. *Control Theory & Applications*, 2014, 31(1): 85 – 92. (谷志锋, 朱长青, 张晨光, 等. 双重跟踪滤波励磁及调速非线性鲁棒控制 [J]. 控制理论与应用, 2014, 31(1): 85 – 92.)
- [10] GU Zhifeng, ZHU Changqing, SHAO Tianzhang. Autonomous robust adaptive decentralized control for the distributed multi-input system [J]. *Control and Decision*, 2014, 29(9): 1545–1552. (谷志锋, 朱长青, 邵天章. 分布式多输入系统的自律鲁棒自适应分散控制 [J]. 控制与决策, 2014, 29(9): 1545 – 1552.)
- [11] GU Zhifeng, ZHU Changqing, ZHAO Wenjie, et al. AC tracking nonlinear L_2 excitation control based on the state estimation by EKF [J]. *Electric Machines and Control*, 2013, 17(7): 68 – 75. (谷志锋, 朱长青, 赵文杰, 等. EKF状态估计交流跟踪非线性 L_2 励磁控制 [J]. 电机与控制学报, 2013, 17(7): 68 – 75.)
- [12] LU Qiang, MEI Shengwei, SUN Yuanzhang. *Nonlinear Control of Power System* [M]. Beijing: Tsinghua Press, 2008: 86 – 108. (卢强, 梅生伟, 孙元章. 电力系统非线性控制 [M]. 北京: 清华大学出版社, 2008: 86 – 108.)
- [13] GE You, LI Chunwen. Design for H_∞ sliding mode robust excitation controller [J]. *Proceedings of the CSEE*, 2002, 22(5): 1 – 4. (葛友, 李春文. H_∞ 滑模鲁棒励磁控制器设计 [J]. 中国电机工程学报, 2002, 22(5): 1 – 4.)
- [14] MEI Shengwei, SHEN Tielong, LIU Kangzhi. *Modern Robust Control Theory and Application* [M]. Beijing: Tsinghua Press, 2008: 172 – 184. (梅生伟, 申铁龙, 刘康志. 现代鲁棒控制理论与应用 [M]. 北京: 清华大学出版社, 2008: 172 – 184.)
- [15] LI Xiaocong, LI Wentao, XU Junhua, et al. Robust adaptive excitation control for uncertain power system [J]. *Proceedings of the CSU-EPSA*, 2011, 23(3): 13 – 17. (李啸骢, 李文涛, 徐俊华, 等. 不确定性电力系统鲁棒自适应励磁控制 [J]. 电力系统及其自动化学报, 2011, 23(3): 13 – 17.)
- [16] LI Wenlei, JING Yuanwei, LIU Xiaoping. Adaptive robust backstepping design for nonlinear steam controller [J]. *Proceedings of the CSEE*, 2003, 23(1): 155 – 158. (李文磊, 井元伟, 刘晓平. 非线性汽门控制器的自适应鲁棒逆推设计 [J]. 中国电机工程学报, 2003, 23(1): 155 – 158.)
- [17] LU Q, MEI S W, HU W, et al. Nonlinear decentralized disturbance attenuation excitation control via new recursive design for multi-machine power systems [J]. *IEEE Transactions on Power Systems*, 2001, 6(4): 729 – 736.
- [18] YAN Maode, HE Yuyao, WU Qingyun. Adaptive robust control with L_2 gain for a class of uncertain nonlinear systems [J]. *Journal of Chang'an University (Natural Science Edition)*, 2006, 26(6): 102 – 106. (闫茂德, 贺昱曜, 吴青云. 一类非线性系统具有 L_2 增益的鲁棒自适应控制 [J]. 长安大学学报(自然科学版), 2006, 26(6): 102 – 106.)
- [19] CHEN Mou, JIANG Changsheng, WU Qingxian, et al. Adaptive robust L_2 -gain control for a class of uncertain nonlinear systems [J]. *Journal of Nanjing University of Aeronautics & Astronautics*, 2003, 35(4): 351 – 355. (陈谋, 姜长生, 吴庆宪, 等. 一类不确定非线性系统的鲁棒自适应 L_2 -增益控制 [J]. 南京航空航天大学学报, 2003, 35(4): 351 – 355.)
- [20] LAN Zhou, GAN Deqiang, NI Yixin, et al. Decentralized nonlinear robust adaptive excitation control design for power systems [J]. *Proceedings of the CSEE*, 2006, 26(17): 1 – 5. (兰洲, 甘德强, 倪以信, 等. 电力系统非线性鲁棒自适应分散励磁控制设计 [J]. 中国电机工程学报, 2006, 26(17): 1 – 5.)

作者简介:

谷志锋 (1979–), 男, 博士, 主要研究方向为独立电力系统非线性鲁棒控制技术, E-mail: gu_79_11@163.com;

朱长青 (1963–), 男, 教授, 博士生导师, 主要研究方向为野战电力支持技术, E-mail: zhunei@163.com;

邵天章 (1967–), 男, 副教授, 硕士生导师, 主要研究方向为移动电站抗干扰技术, E-mail: stz_ordance@163.com;

王文婷 (1979–), 女, 硕士, 讲师, 研究领域为装备电网仿真技术, E-mail: wwting_79@163.com.